

可視光応答性光触媒RhドープSrTiO₃の電子状態: 軟X線吸収・発光分光による研究

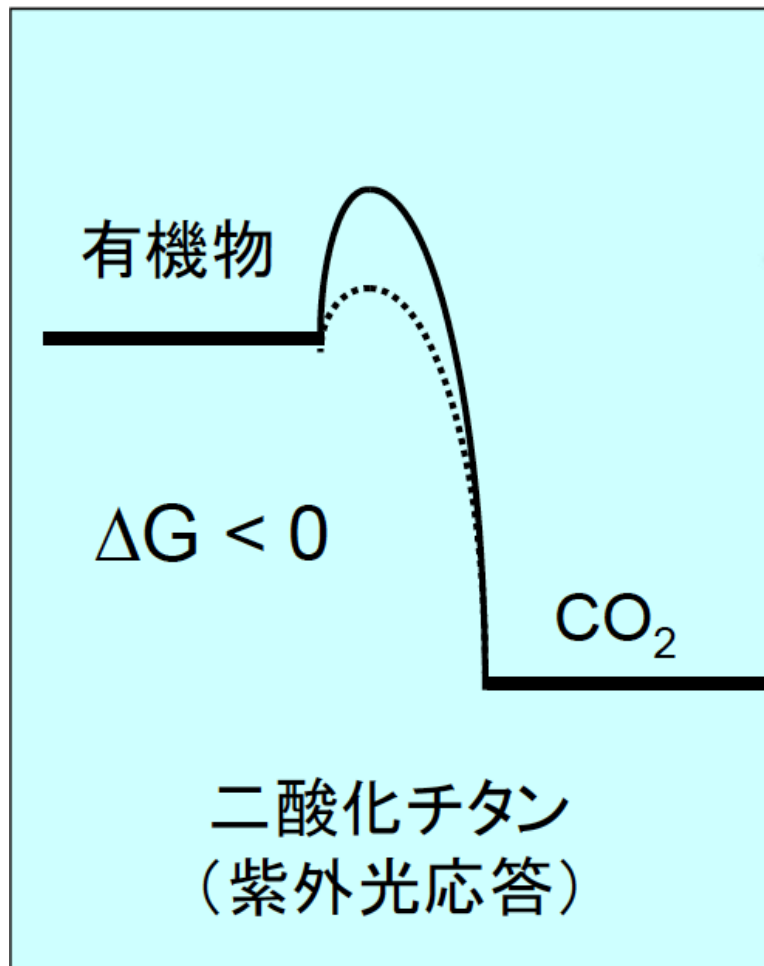
東大物性研
吉信 淳

共同研究者
東大物性研
川崎聖治, 中辻寛, 山本達, 松田巖, 小森文夫,
原田 慶久, 高橋竜太, ミック・リップマー

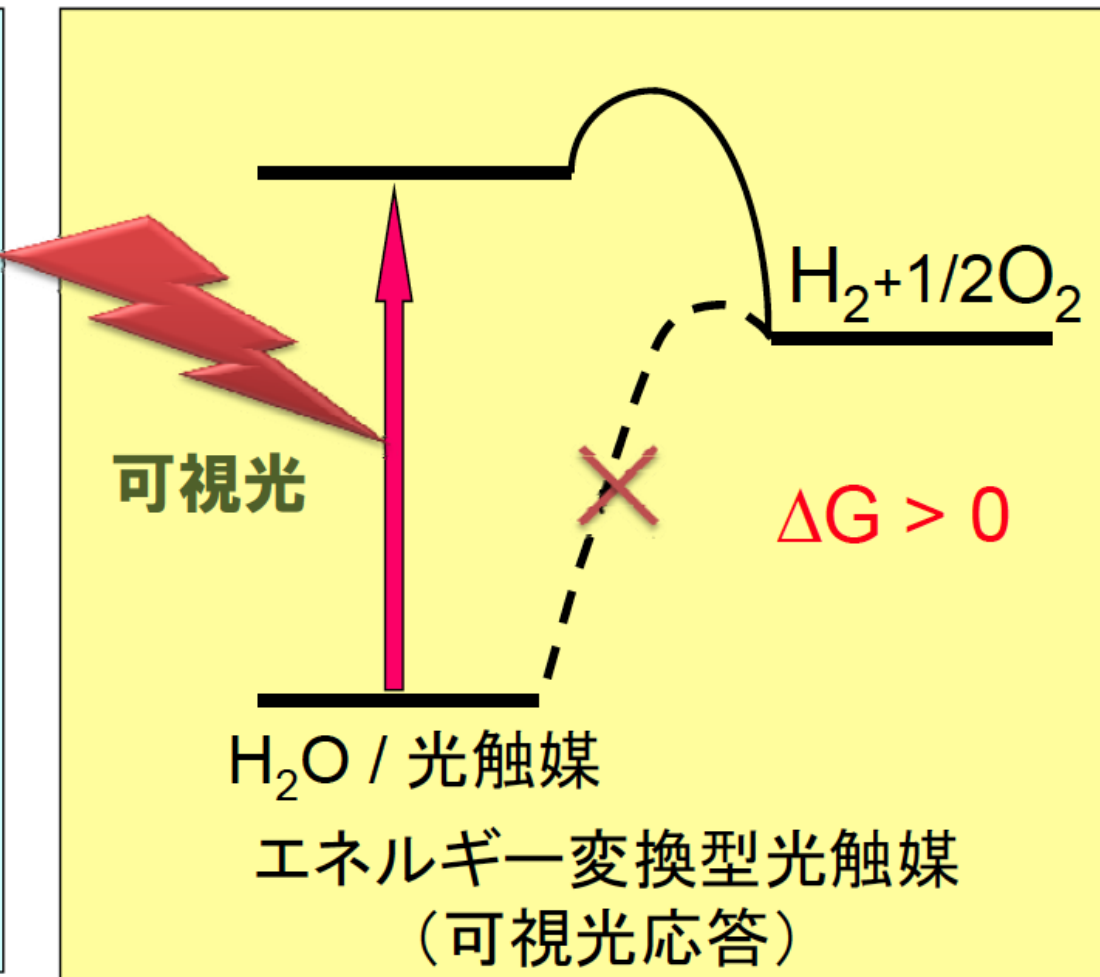
東京理科大
工藤 昭彦

東北大WPI
赤木和人

環境浄化型光触媒とエネルギー変換型光触媒



有機物の光分解

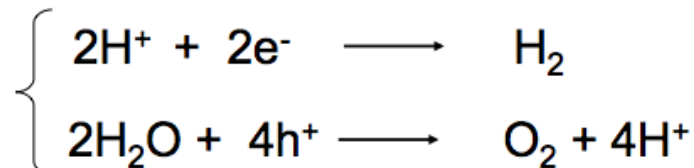
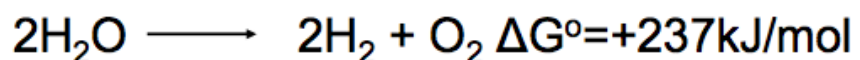
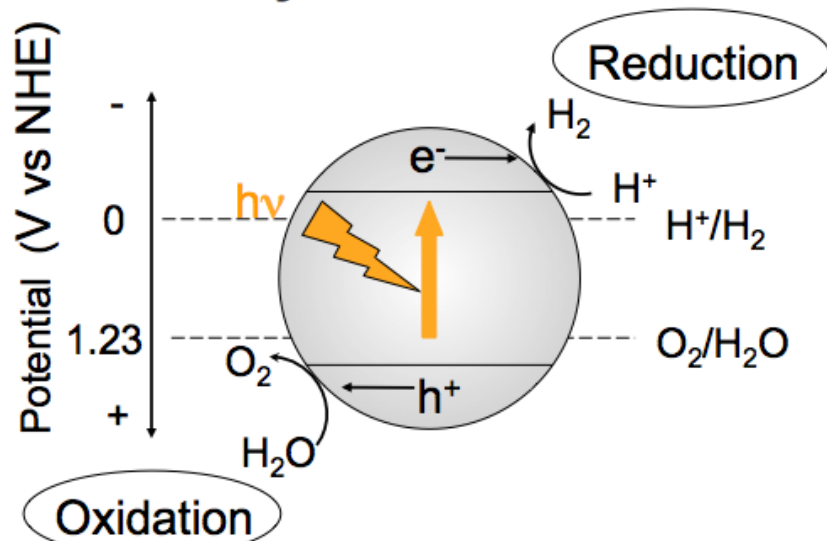


光エネルギーの
化学エネルギーへの変換

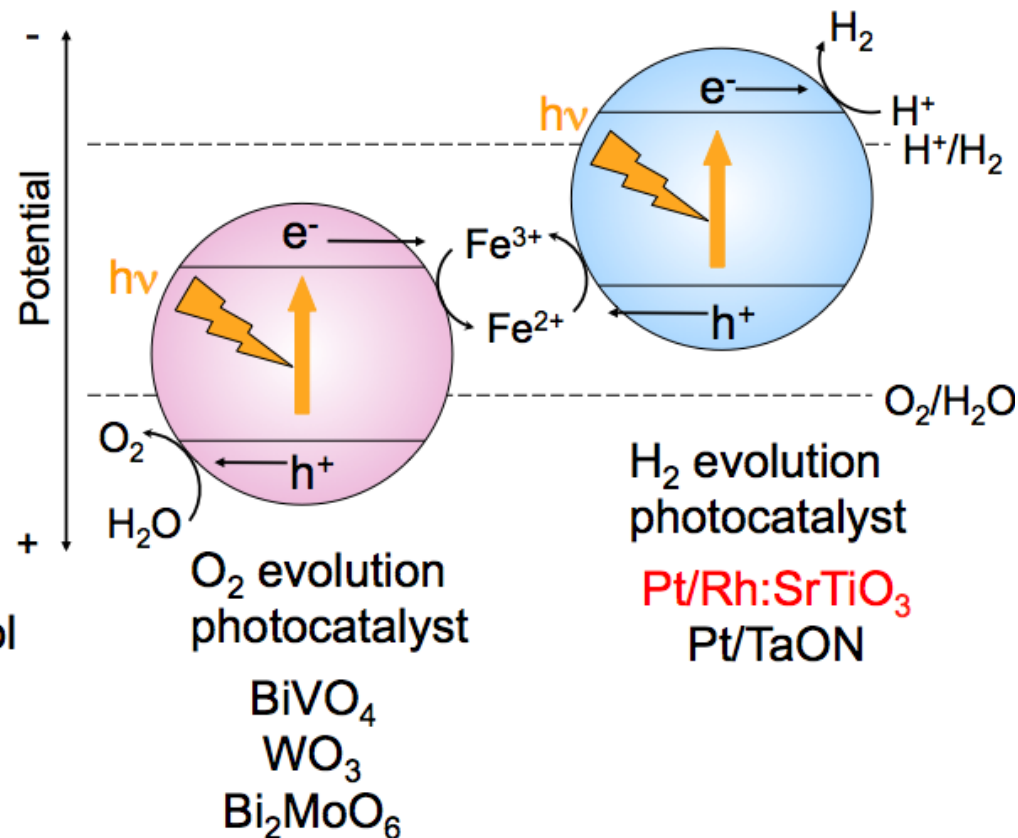
新学術領域「オペランド表面化学」
(松本吉泰代表:H23プロポーザル資料より)

可視光応答水分解光触媒

Photocatalyst

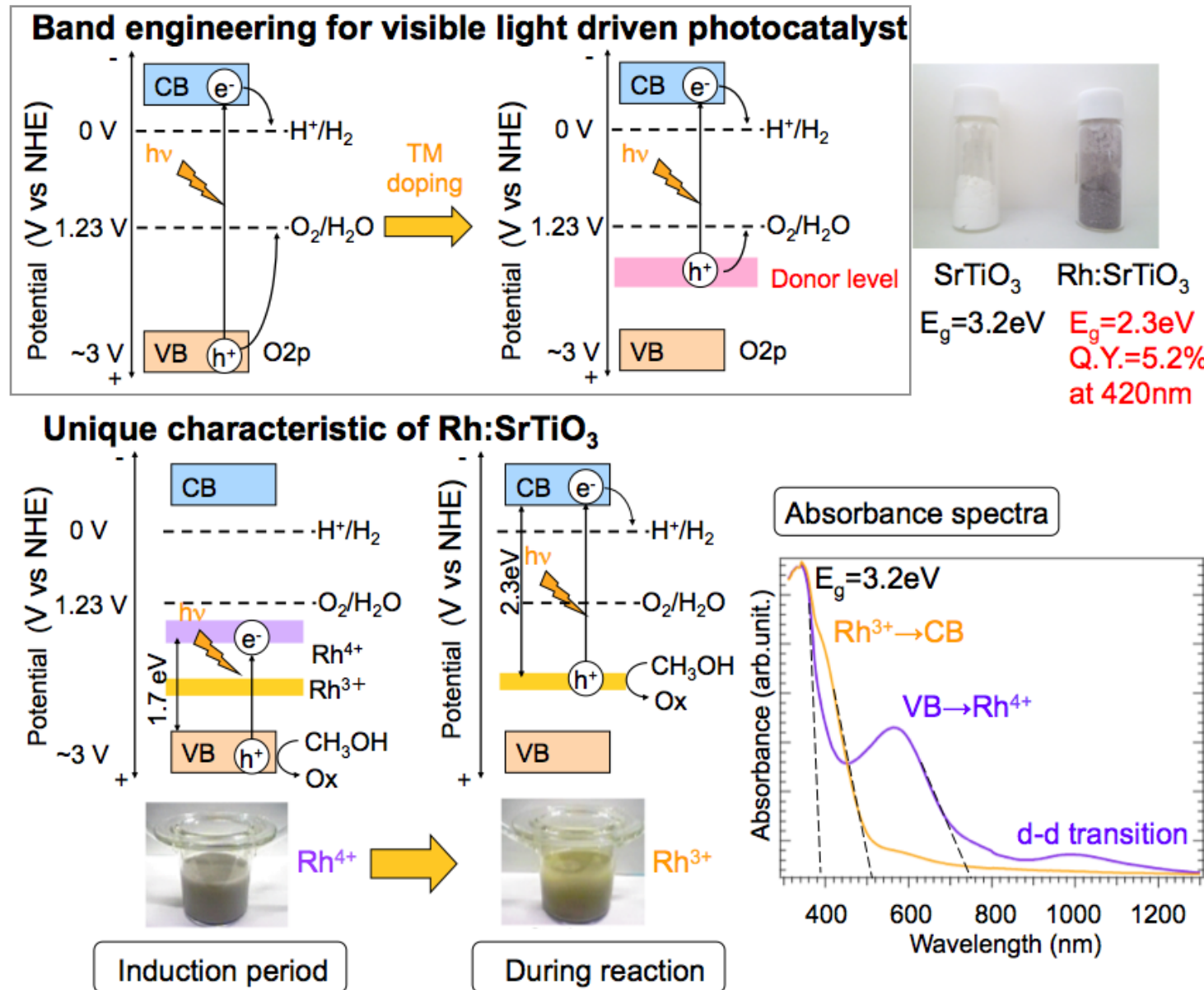


Z-scheme system (two-photon process)

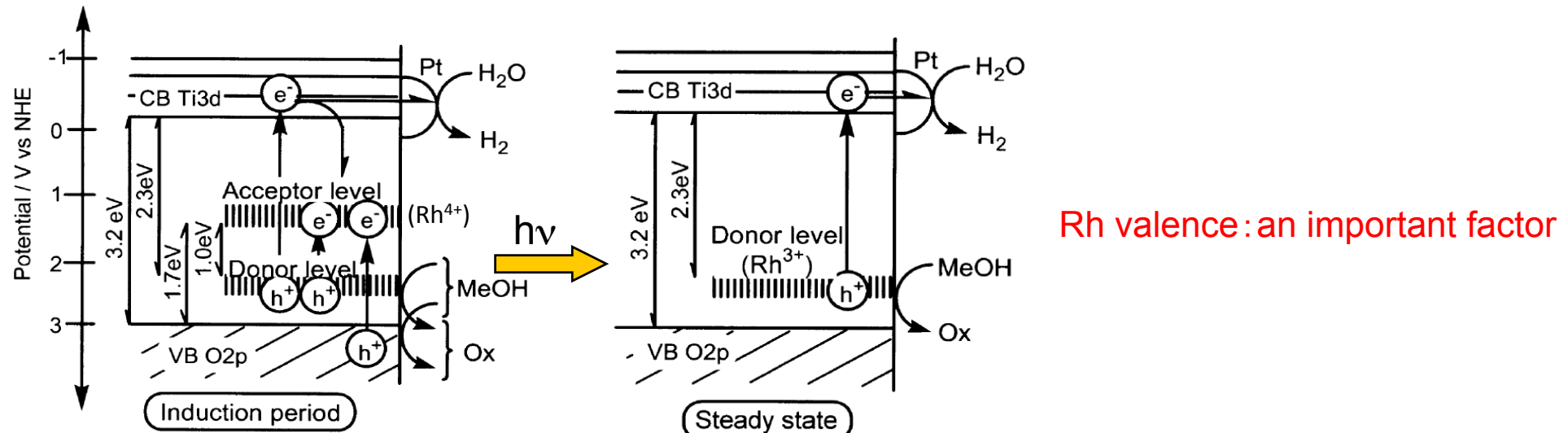


A.Kudo and Y.Miseki, *Chem. Soc. Rev.* **38**, 253 (2009).

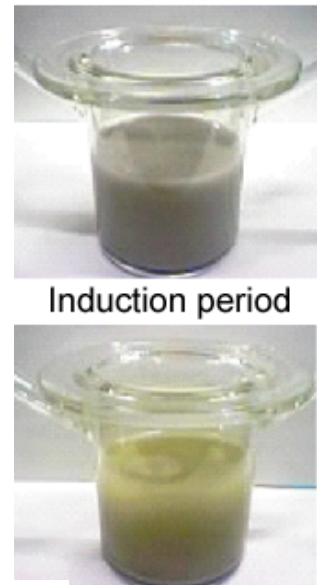
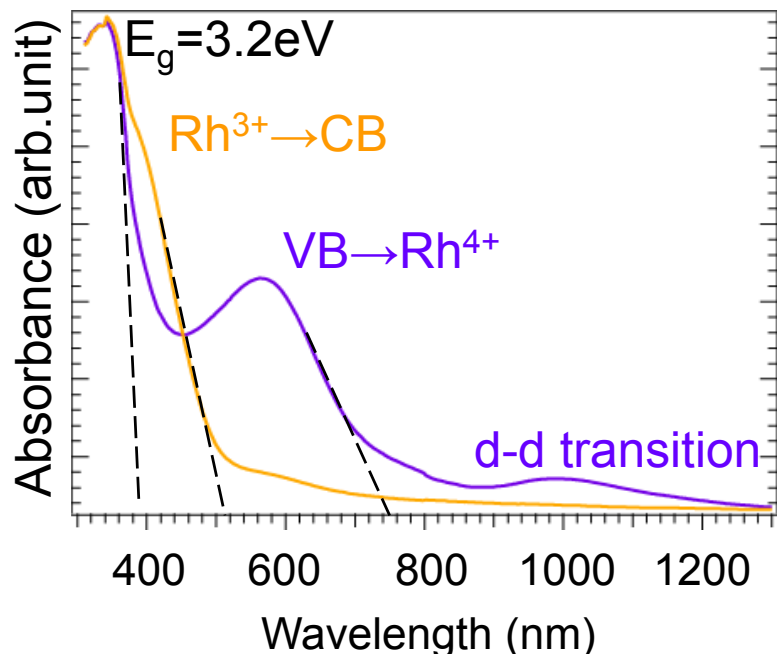
可視光応答への戦略: 遷移金属ドーピング



Previous study on Rh:SrTiO₃ photocatalyst



Absorbance spectra



Rh⁴⁺
dominant

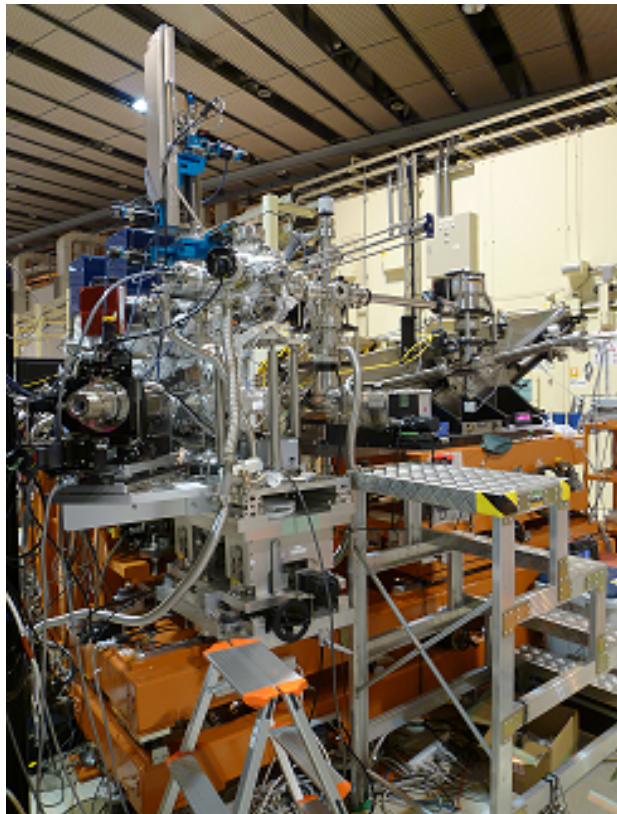
Rh³⁺
dominant
active

However, the detailed
electronic state has not
been known yet.

R.Konta, T.Ishii, H.Kato, and A.Kudo,
J. Phys. Chem. B **108**, 8992 (2004)

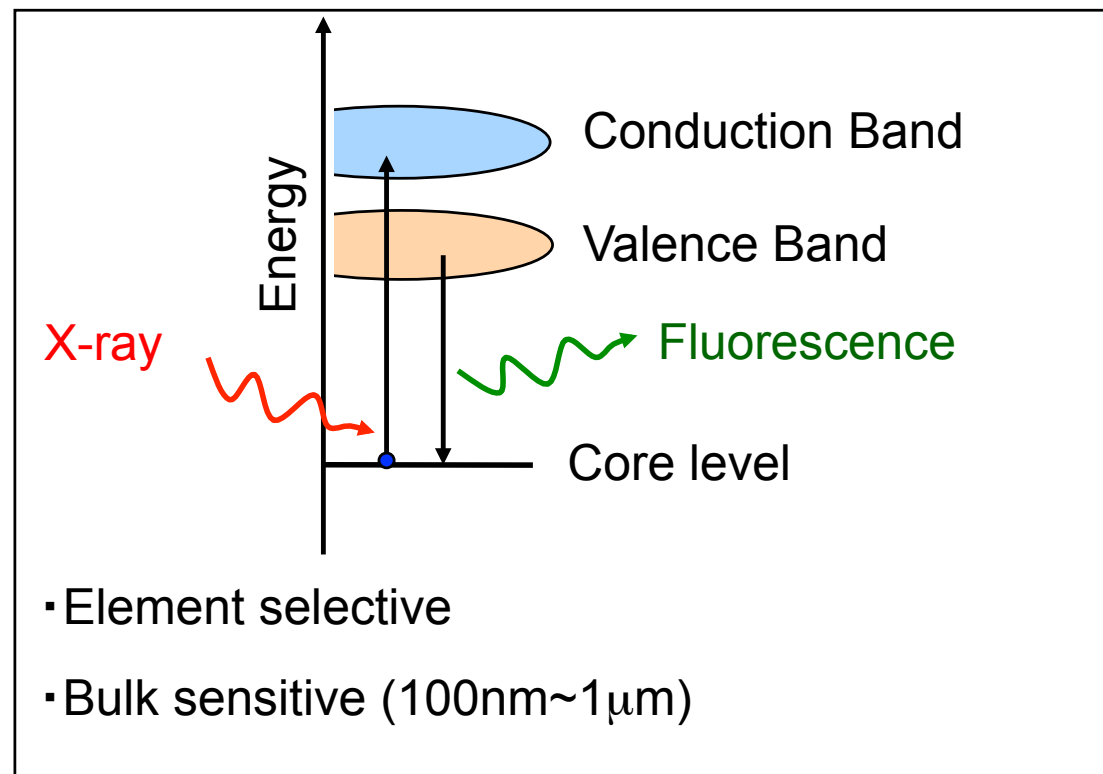
XAS & XES experiments @ SPring-8

BL07LSU@SPring-8



High Resolution XAS & XES

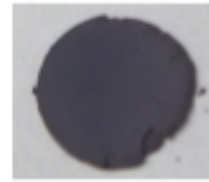
BL07LSU of SPring-8. $E/\Delta E \doteq 3600$.



Samples for XAS&XES @ SPring-8

Sample (Sintered pellet)

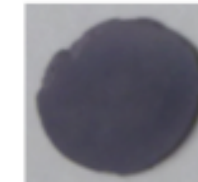
Rh⁴⁺:SrTiO₃



Rh5%



Rh3%



Rh1%

Rh³⁺:SrTiO₃



Rh5%

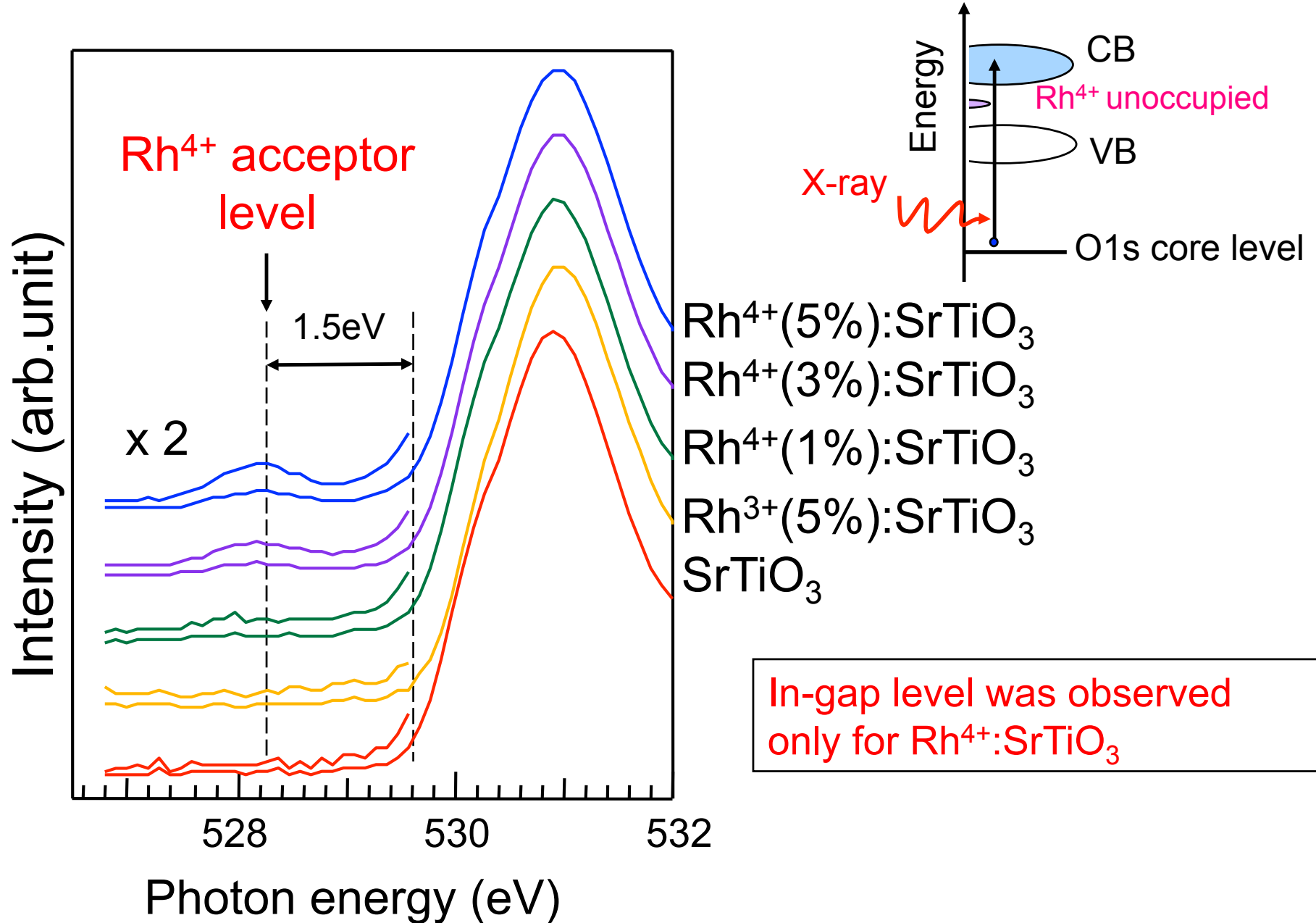
SrTiO₃



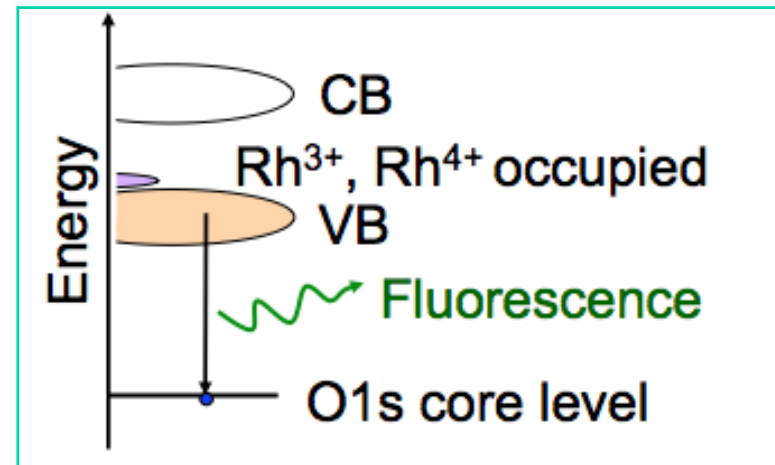
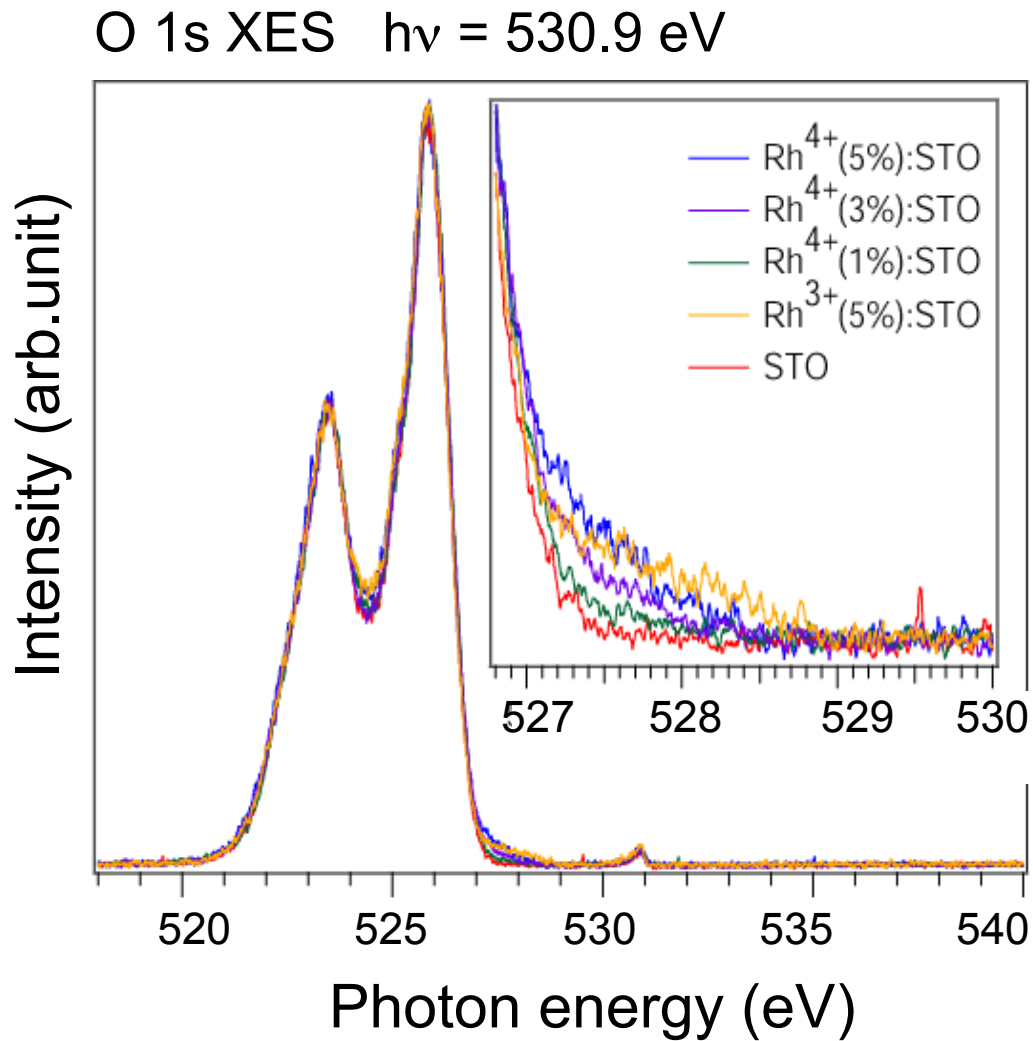
Non-doped

Annealed in H₂
@300°C, 2h

O 1s XAS @ SPring-8 BL07LSU



O 1s XES @ SPring-8 BL07LSU



1. Rh-induced states were observed just above the valence band top of SrTiO₃.
2. In the case of the Rh³⁺ STO sample, the induced state is observed at ~528 eV, which is slightly above that of Rh⁴⁺.

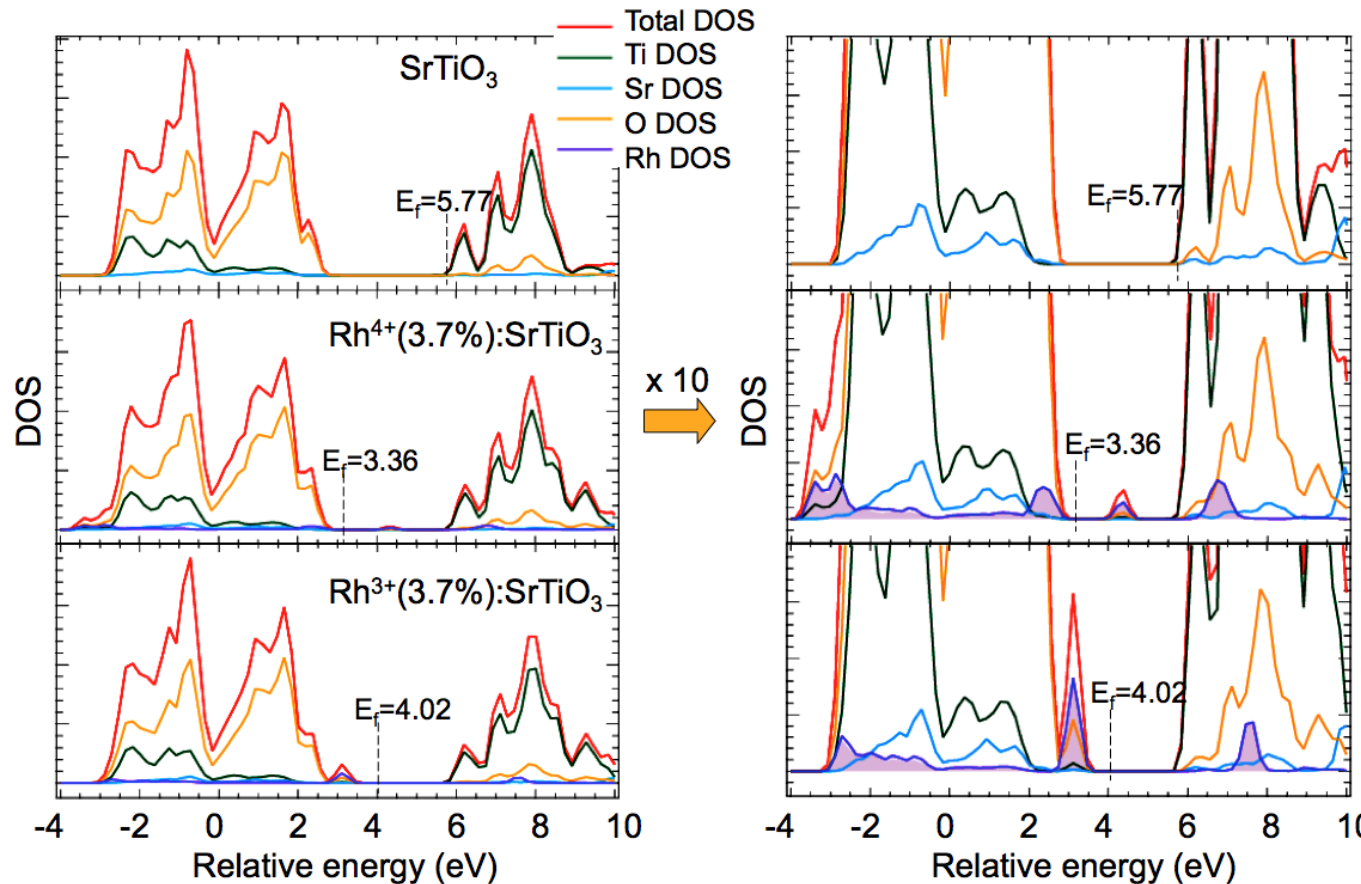
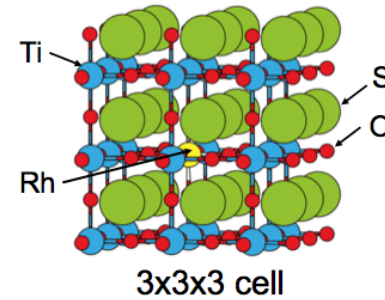
First principles calculations by Prof. Akagi

First-principles calculation

Density of states (DOS) calculated VASP using HSE functional for $3 \times 3 \times 3$ SrTiO₃

For Rh⁴⁺:SrTiO₃, a Rh atom was substituted at a Ti site

For Rh³⁺:SrTiO₃, an additional e⁻ was inserted into the Rh⁴⁺:SrTiO₃ cell



1. Positions of Rh³⁺ and Rh⁴⁺ in-gap levels were estimated.
2. Hybridization between O2p and Rh4d was found at the top of the valence band for both Rh⁴⁺:SrTiO₃ and Rh³⁺:SrTiO₃
3. The position of E_f is changed with Rh doping in SrTiO₃

The calculation results are consistent with the present XAS/XES results.

In-situ XAS/XES measurement

Pure-H₂O



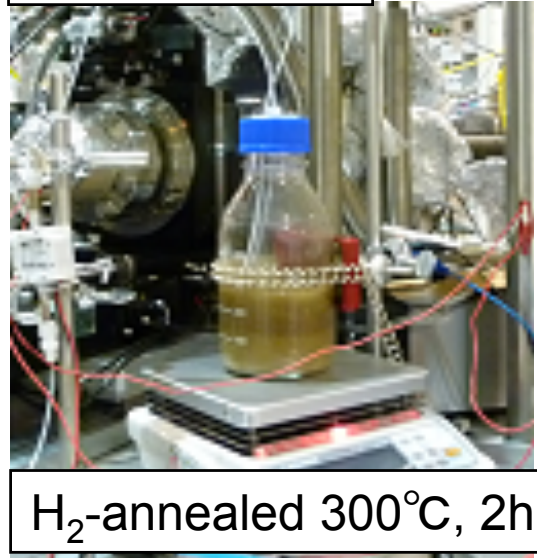
STO



Rh⁴⁺(5%):STO



Rh³⁺(5%):STO



Suspension

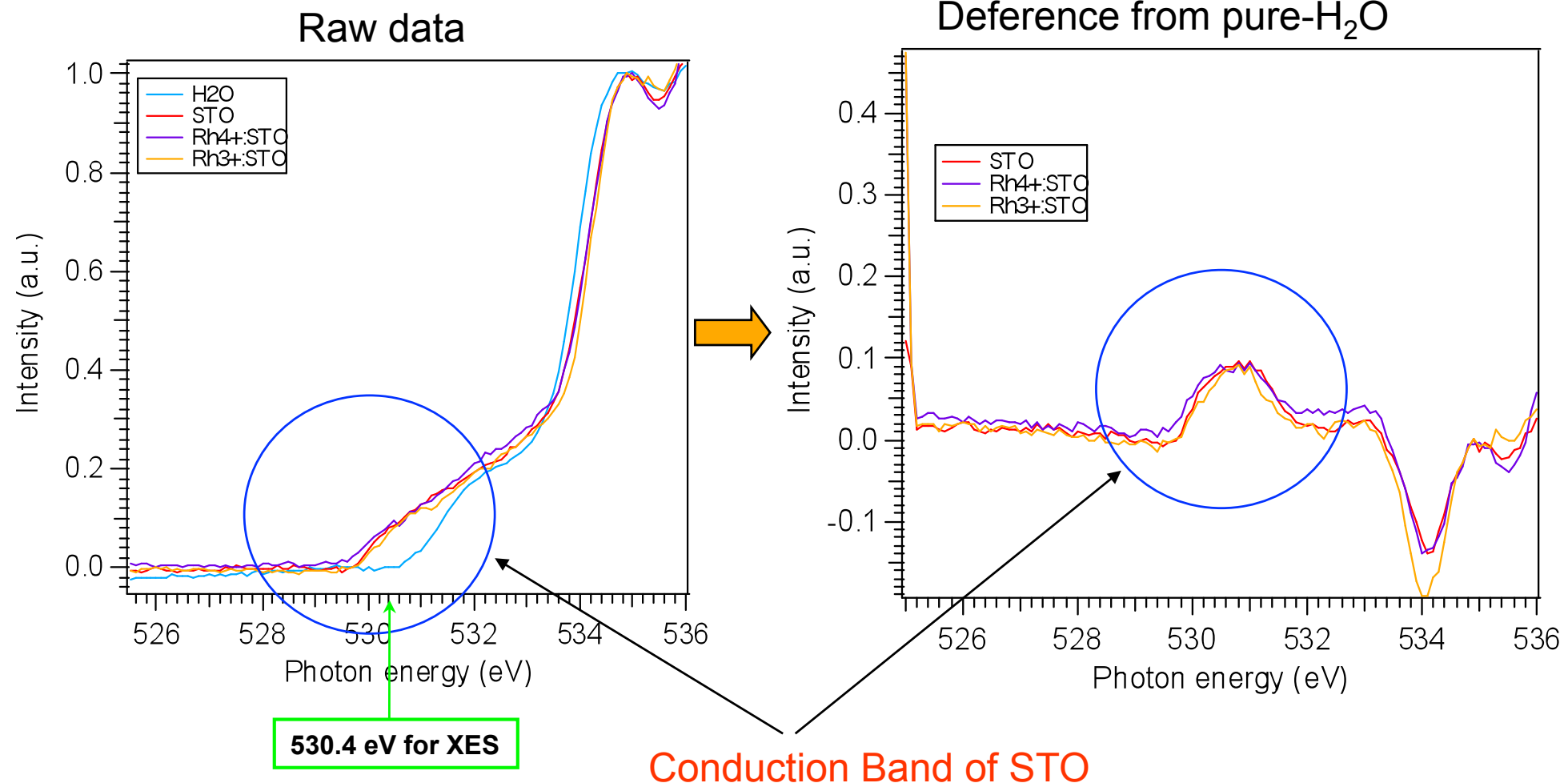
0.8g(powder)/300ml(H₂O)
r.t., 500rpm,
circulation cell

Measurement

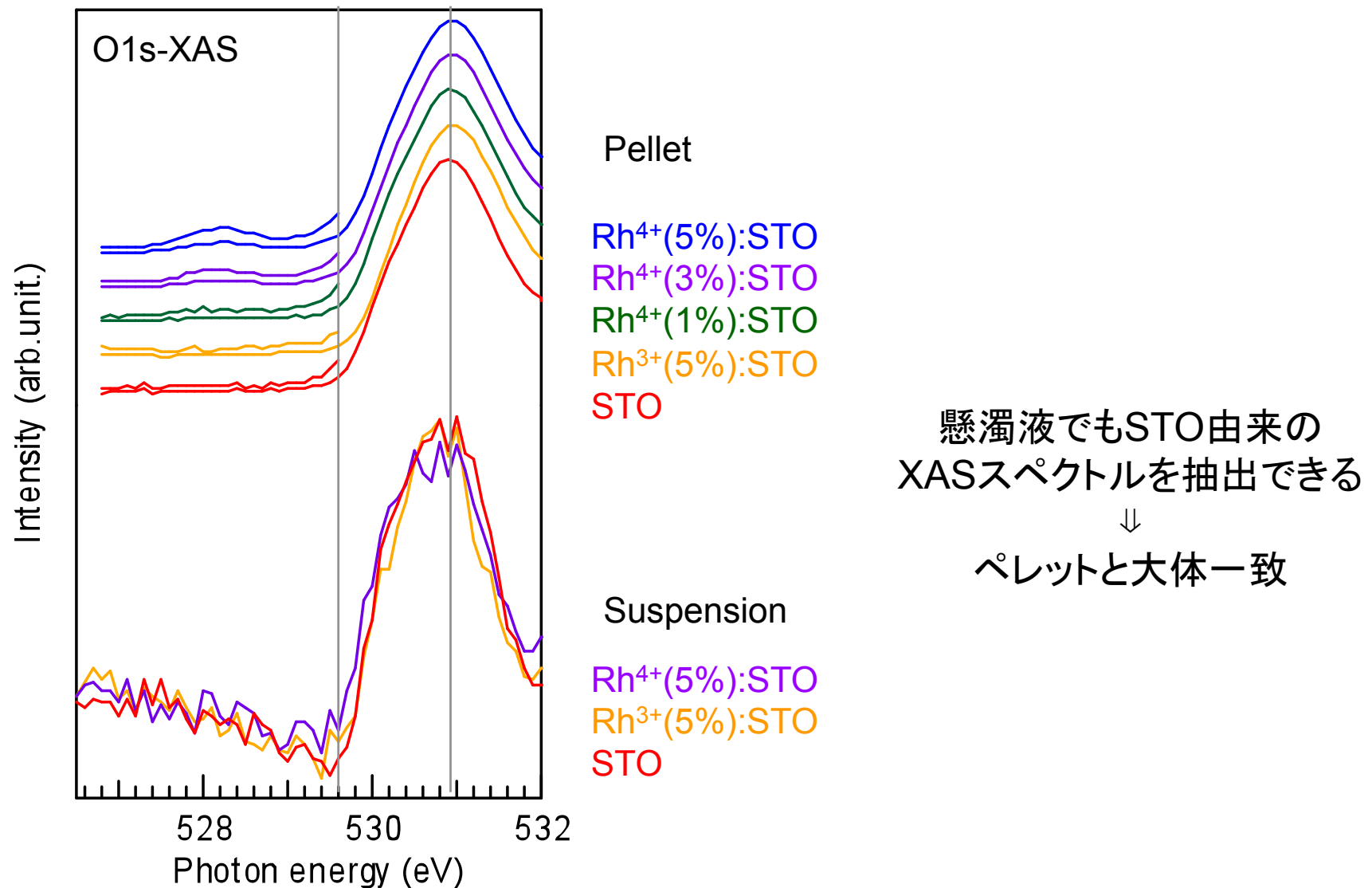
XAS & XES

H₂-annealed 300°C, 2h

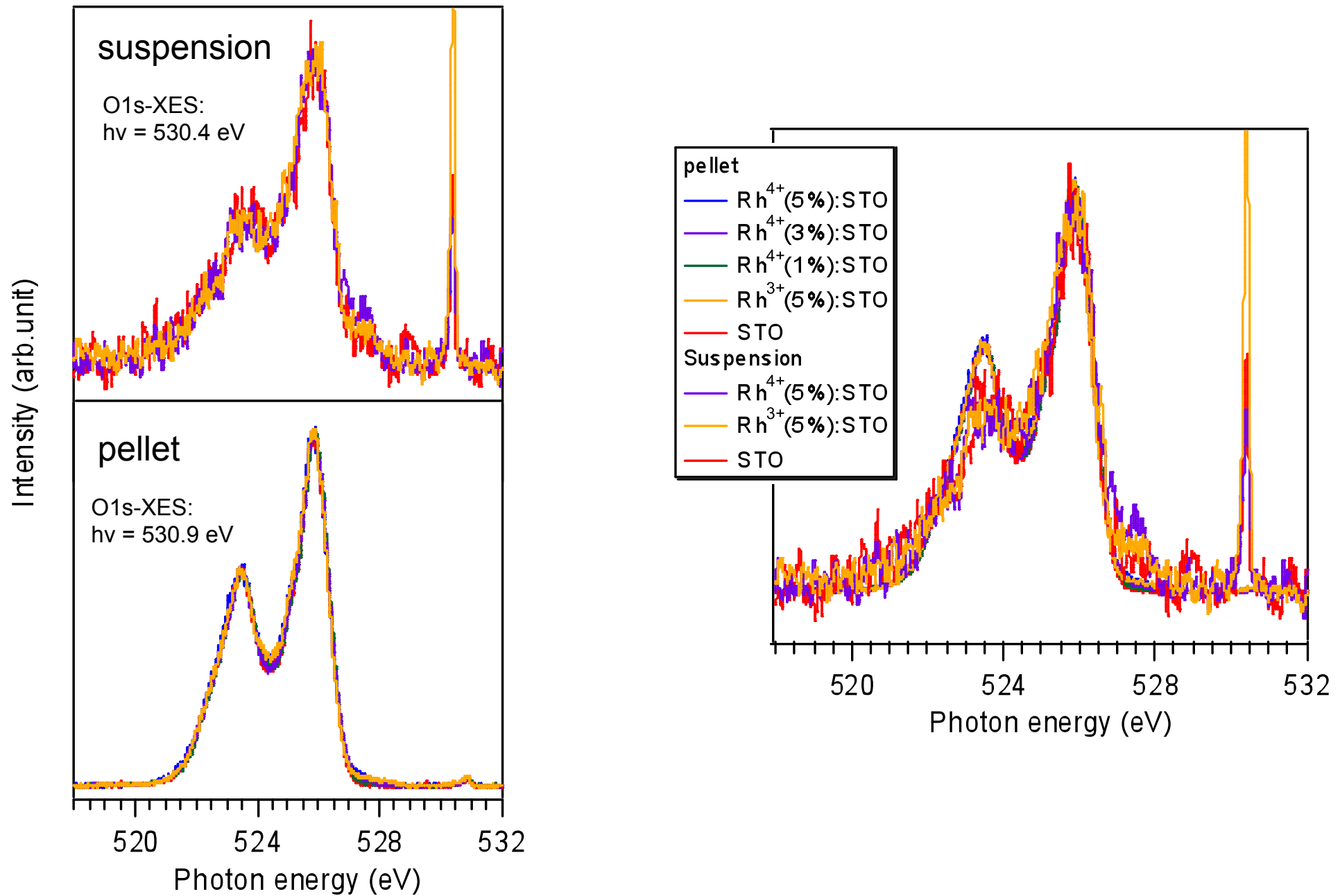
In-situ XAS of Rh-SrTiO₃ @ SPring-8: raw data



In-situ XAS of Rh-SrTiO₃ @ SPring-8



In-situ XES Rh-SrTiO₃ @ SPring-8



Summary

- ◆ 可視光応答光触媒Rh:SrTiO₃(ペレット)の電子状態をO1s-XES/XASにより測定し、Rhのドープ量、価数状態の違いにより、SrTiO₃のin-gapに存在するピークを観測した。
- ◆ 第一原理計算の結果と比較することにより、これらはRhドープにより誘起されたと状態と考え、以下のように帰属した。
 - XASで観測されたピーク: Rh⁴⁺によるアクセプター準位。
 - XESによる価電子帯上端のショルダー: O2pとRh4dの軌道の混成状態
- ◆ 水中に分散させたRh:SrTiO₃(粉体)のin-situ XAS/XES測定を行った。
 - ペレットで観測されたピークとだいたい一致したが、ピーク幅や強度比などにわずかな違いが見られた。
- ◆ In-situ(水中)さらにオペランド観測(光触媒反応中)を行い、定量的議論をするためには、シグナル強度の増大や光照射のためのセル開発が必要である。